



## اثر عملگر کنترل جریان پلاسمای در بهبود عملکرد آبجودینامیکی روتور توربین باد مگاواتی

عباس ابراهیمی<sup>۱\*</sup>، محمد رضا موحدی<sup>۲</sup>

۱- استادیار، مهندسی هوافضای دانشگاه صنعتی شریف، تهران

۲- کارشناسی ارشد، مهندسی هوافضای دانشگاه صنعتی شریف، تهران

\* تهران، صندوق پستی ۱۱۱۵۵-۱۶۳۹، ebrahimi\_a@sharif.ir

### چکیده

در این پژوهش، امکان استفاده از عملگر پلاسمای بعنوان ابزاری برای کنترل جریان روی پره‌ی روتور توربین باد محور افقی مگاواتی و افزایش توان خروجی آن بررسی شده است. برای این کار، روتور توربین باد ۵ مگاواتی مرجع آن آرایی‌ال. انتخاب و عملگر پلاسمای دی‌بی‌دی. خطی در چند حالت مختلف در نزدیکی ریشه و نوک پره، قرارداده شده است. توربین باد موردنظر، از روش کنترل گام پره در سرعت‌های بالاتر از سرعت نامی توربین برای ثابت نگهداشت توان خروجی استفاده می‌کند و در سرعت‌های باد پایین‌تر، این سامانه غیرفعال است. عملگر پلاسمای دی-شرايط عملکردی بررسی شده برای توربین در سرعتی کمتر از سرعت نامی است که سامانه کنترل گام پره غیرفعال است. عملگر پلاسمای دی-بی‌دی از دو الکتروکوپ و ماده دی‌الکتریک مابین آنها تشکیل شده که با اعمال ولتاژی به اندازه کافی بزرگ به الکترودها، میدان الکتریکی در اطراف عملگر شکل می‌گیرد و با یونیزه کردن هوا اطراف، جت جریانی در نزدیک دیواره در اثر میدان الکتریکی القای می‌کند. اعتبارسنجی برای شبیه‌سازی اثر عملگر پلاسمای و جریان روی پره روتور انجام شده و با نتایج مراجع مقایسه شده است. نتایج نشان می‌دهد در تمامی حالاتی مختلف قراردادن عملگر پلاسمای روی پره، الگوی جریان در قسمت کنترل شده بهبود یافته که منجر به توزیع پهلوی و درنتیجه افزایش گشتاور آبجودینامیکی و توان خروجی توربین شده است. بیشترین میزان افزایش توان خروجی در حالتی رخ داده است که عملگر در راستای دهانه پره در نزدیکی ریشه و در راستای وتر پره قیل از ناخیه کسر سرعت روی سطح بالایی مقطع پره نصب شده است.

### اطلاعات مقاله

مقاله پژوهشی کامل

دریافت: ۱۱ مهر ۱۳۹۵

پذیرش: ۱۳ آبان ۱۳۹۵

ارائه در سایت: ۲۸ اذر ۱۳۹۵

کلید واژگان:

کنترل جریان

توربین باد محور افقی

عملگر پلاسمای

مدل الکترواستاتیک

## Power improvement of a large horizontal-axis wind turbine by DBD plasma actuator

Abbas Ebrahimi\*, Mohammadreza Movahhedi

Department of Aerospace Engineering, Sharif University of Technology, Tehran, Iran  
\* P.O.B. 11155-1639 Tehran, Iran, ebrahimi\_a@sharif.ir

### ARTICLE INFORMATION

Original Research Paper  
Received 02 October 2016  
Accepted 03 November 2016  
Available Online 18 December 2016

**Keywords:**  
Flow control  
Horizontal axis wind turbine  
Plasma actuator  
Electrostatic model

### ABSTRACT

In this paper, boundary layer control technique is investigated on the NREL-5MW offshore baseline wind turbine blade with numerical simulation of linear DBD plasma actuator in a three-dimensional manner. This wind turbine uses pitch control system to adjust its generated power above its rated speed; but below that the controller is inactive. In the current study, operating condition is set such that the control system is off. Plasma actuator consists of two electrode and dielectric materials. One of these electrodes is connected with the air and another one is encapsulated with the dielectric material. When the necessary high-level AC voltage is applied to electrodes, electric field forms around the actuator and an induced wall jet forms with the ionization of the air around the actuator. Electrostatic model is applied to simulate the effects of plasma actuator and the resulted body force is inserted into flow momentum equations. In the present study, three different control cases are studied. Results show that in all cases, using this actuator leads to improvement of the velocity profile in controlled section, which influences on pressure distribution and results in rotor torque increment. Finally, increasing in torque leads to growth in produced power of the wind turbine. The highest increment in output power occurs when the actuator is installed near the root of the blade in the spanwise direction and before low-speed region in the chordwise direction.

است. از اواسط ۱۹۹۰، تحقیقاتی در زمینه کنترل جریان روی ایرفویل با ابتدایی ترین نوع عملگر پلاسمای (عملگر کرونا)<sup>۲</sup> آغاز شد [۱]. راث و همکاران [۲] اولین نتایج مربوط به عملگر پلاسمای دی‌بی‌دی را منتشر کردند. توسعه‌ی پژوهش‌ها و پیشرفت در زمینه‌ی این عملگرها، انگیزه محققین

در دهه‌ی گذشته، کنترل فعال جریان سیال عبوری از سطوح آبجودینامیکی به کمک عملگرهای پلاسمای دی‌بی‌دی<sup>۱</sup> بسیار مورد توجه قرار گرفته است. تا قبل از سال ۲۰۰۰ میلادی، فعالیت‌های اندکی در این زمینه منتشر شده

### ۱- مقدمه

<sup>2</sup> Corona Discharge

<sup>1</sup> Dielectric Barrier Discharge (DBD)

هدف اصلی در پژوهش حاضر، بررسی امکان استفاده از عملگر پلاسما به عنوان ابزاری برای کنترل جریان روی پره توربین باد محور افقی مگاواتی و افزایش توان خروجی آن است. برای این کار، روتور توربین باد محور افقی مرجعی انتخاب و جریان روی پره آن بصورت سه بعدی شبیه سازی شده است. اعتبارسنجی شبیه سازی های اثر عملگر پلاسما و جریان روی پره روتور با مقایسه نتایج با مراجع انجام شده است. با قراردادن عملگر پلاسما در چند حالت مختلف در نزدیکی ریشه و نوک پره، الگوی جریان عبوری از پره و درنتیجه توان خروجی توربین بررسی شده است.

## 2- توربین باد مبنای

به منظور بررسی اثر کنترل جریان به وسیله عملگر پلاسما، توربین باد محور افقی NREL-5MW به عنوان توربین باد مبنای استفاده شده است. مشخصات این توربین در [13] آمده است. این توربین برای استفاده از فراساحلی<sup>2</sup> طراحی شده و روتور آن دارای سه پره به طول 63 متر است که هر پره از شش ایرفویل متفاوت تشکیل شده است. سیستم کنترلی استفاده شده در این توربین از نوع کنترل گام<sup>3</sup> است که در سرعت های باد بیشتر از 11.4 متر بر ثانیه (سرعت باد نامی توربین) فعال می شود و زاویه حمله پره ها را طوری تنظیم می کند که توان خروجی ثابت بماند.

## 3- معادلات حاکم بر جریان

معادلات حاکم بر جریان، معادلات پیوستگی و مومنتوم هستند که با رویکرد متوسطگیری زمانی (رنس<sup>4</sup>) برای شبیه سازی جریان سیال تراکم ناپذیر عبوری از روتور توربین استفاده شده اند که در معادله (1) ارائه شده است.

$$\frac{\partial u_i}{\partial x_i} = 0 \quad (1)$$

$$\frac{\partial u_i}{\partial t} + u_j \frac{\partial u_i}{\partial x_j} = - \frac{1}{\rho} \frac{\partial p}{\partial x_i} + \nu \frac{\partial^2 u_i}{\partial x_j \partial x_j} + \frac{\partial \tau_{ij}}{\partial x_j} + f_{bi}$$

که در آن،  $u_i$  مولفه های میدان سرعت،  $p$  فشار استاتیک بر حسب پاسکال،  $\rho$  چگالی سیال بر حسب کیلوگرم بر متر مکعب،  $\nu$  ویسکوزیته دینامیکی سیال و  $\tau_{ij}$  تنش های رینولدز نامیده می شوند که در اینجا توسط مدل آشفتگی  $k\omega - SST$  شبیه سازی می شوند. این مدل در مراجع مختلف برای جریان روتور استفاده شده است [14].  $f_{bi}$  نیروی حجمی اثر عملگر پلاسمایی بر واحد حجم بر حسب نیوتن بر متر مکعب است که به صورت جمله چشم به معادله اندازه حرکت افزوده شده است.

## 4- شبکه محاسباتی و اعتبارسنجی حل جریان روی روتور

از آن جاکه روتور توربین دارای سه پره است، به منظور کاهش هزینه محاسباتی، فقط یکی از پره های روتور مدل شده است. این پره مطابق شکل 1 در مرکز قطاعی 120 درجه از استوانه به عنوان مرز بیرونی دامنه محاسباتی قرار گرفته که وجود آن دارای شرط مرزی پریودیک هستند. در شکل 1 ابعاد دامنه ای حل، محور دوران شبکه و نیز شرایط مرزی آورده شده است ( $R$ ). بیانگر طول پره است). اندازه دامنه در جلوی پره برابر  $R$ ، در پشت پره برابر  $3R$  و شعاع قطاع استوانه برابر  $1.5R$  انتخاب شده است (مشابه مرجع [15]). شبکه از بلوک های متعدد تشکیل شده و پره درون بلوکی به شکل مکعب مستطیل قرار گرفته و این بلوک نیز مطابق شکل 1 در قطاعی از سینلندر به عرض 0.1 طول پره واقع است. درون این قطاع، شبکه سازمان یافته با تراکم

آبرو دینامیک برای بررسی کاربرد و اثر این نوع عملگرها بر کنترل جریان و افزایش کارآیی آبرو دینامیکی را بیشتر کرده است [3]. آخرین پیشرفت ها و دستاوردها در زمینه کنترل لایه مرزی جریان با عملگرهای پلاسما و ویژگی های آن ها توسط [4-6] به طور جامع مور شده است.

براساس گزارش سال 2016 انجمن انرژی باد اروپا، ظرفیت توربین های باد فراساحلی از سال 2010 تا 2015 میلادی بیش از 41 درصد رشد داشته است. همچنین در سال 2015 متوسط ظرفیت توربین های جدید نصب شده حدود 4.2 مگاوات بوده است (این عدد نسبت به سال 2014 حدود 13 درصد افزایش داشته و در سال 2010 برابر 3 مگاوات بوده است) [7]. بنابراین سازندگان توربین های بادی انگیزه زیادی برای افزایش اندازه توربین و کاهش هزینه های تولید این انرژی دارند. روش های مختلفی برای بهبود عملکرد آبرو دینامیکی روتور و درنتیجه افزایش توان خروجی از طریق کنترل جریان ارایه شده است که هر کدام دارای مزایا، معایب و محدودیت هایی هستند. عملگرهای پلاسما به دلیل نداشتن قطعات مکانیکی و متحرک، پاسخ زمانی بالا، وزن کم، سادگی نصب، تعمیر و نگهداری پتانسیل بالای نسبت به سایر روش ها در آینده برای استفاده در توربین های بادی تجاری دارند.

در زمینه ای استفاده از عملگر پلاسما برای کنترل جریان عبوری از پره روتور توربین باد، فعالیت های اندکی انجام شده است. نلسون و همکارانش [8] پژوهشی را در راستای طراحی پره های هوشمند<sup>1</sup> توربین باد به کمک عملگر پلاسما برای بهبود عملکرد آبرو دینامیکی روتور انجام دادند. آنها به روش عددی، عملگر پلاسما روی ایرفویل های S827 و S822 را با هدف کنترل جدایش از لبه حمله، برای افزایش ضریب برآی بیشینه بررسی کردند. نشان داده شد که تأثیر عملگر پلاسما در کنترل جدایش محلی جریان و بهبود ضریب برآی ایرفویل، معادل استفاده از سطح متحرک برآزا در لبه فرار یا لبه حمله است.

گرین بلت و همکارانش [9] به روش تجربی از عملگر پلاسما در لبه حمله پره های یک توربین باد محور عمودی کوچک استفاده کردند تا به کمک کنترل جدایش دینامیکی جریان، عملکرد آن را بهبود ببخشند. نتایج آزمایش توربین باد در توپل باد سرعت پایین، افزایش بیش از 38 درصدی توان توربین را نشان داد.

کوتنسیس و همکارانش [10] در فعالیتی تجربی به مطالعه کنترل جریان روی ایرفویل متقارنی با لبه فرار منحنی شکل پرداختند. آنها با قراردادن عملگر پلاسمای دی بی دی در لبه فرار، نشان دادند که این روش ضمن کارآیی، نسبت به روش کنترل جریان با جت می تواند باعث حذف افزایش وزن و دیگر پیچیدگی ها شود. نتایج اولیه، افزایشی در حدود 0.1 برای ضریب برآ در اعداد رینولدز پایین را نشان داد. همچنین آنها اثر متغیرهای عملگر مانند موقعیت و طول الکترودها را بررسی کردند و برای کنترل بارگذاری روی پره توربین باد، استفاده از عملگر ناپایا را پیشنهاد دادند.

آونو و همکارانش [11] در فعالیتی عددی و تجربی، آبرو دینامیک پره یک مدل ساده از توربین باد محور افقی را در حضور عملگر پلاسما بررسی کردند. نتایج مشخص کرد که استفاده از عملگر پلاسما، موجب افزایش 14 درصدی گشتوار تولیدی می شود. اخیرا کنی و همکارانش [12] سه نوع عملگر پلاسما را برای کنترل جریان روی یک توربین باد 20 کیلوواتی و بهبود عملکرد آن توسعه دادند.

<sup>2</sup> Offshore

<sup>3</sup> Pitch Control

<sup>4</sup> Reynolds-Averaged Navier-Stokes (RANS)

<sup>1</sup> Smart Blade

می‌آیند، اصلاح می‌شوند. برای حل معادلات، از حلگر فشار-مبنا<sup>4</sup> استفاده شده است. همچنین الگوریتم کوپل برای همبندکردن سرعت و فشار با روش استاندارد برای فشار و دقت مرتبه دوم برای دیگر معادلات استفاده شده است. برای اعتبارسنجی شبیه‌سازی حل جریان روی پره از مقایسه نتایج با مرجع [17] استفاده شده است. برای مقایسه نتایج، توزیع ضریب فشار روی مقطع  $r/R = 0.50$  در سرعت باد برابر  $11.3 \text{ m/s}$  با مقایسه نتایج مشابه بررسی شده است. برای بدست آوردن توزیع ضریب فشار، توزیع فشار با فشار دینامیکی همان مقطع بی بعد شده است. مقایسه نتایج توزیع ضریب فشار در این مقطع از پره با مرجع [17] که در شکل 3 آمده است، تطابق خوبی را نشان می‌دهد. اختلاف فشار سطوح بالا و پایین پره، باعث ایجاد نیروی برآ شده و بخش عمده گشتاور تولیدی رotor را به وجود می‌آورد. با توجه به شرایط عملکردی موردنظر، عدد رینولدز جریان روی پره در بازه بین 3 تا حدود 11 میلیون قرار دارد و بنا بر این جریان کاملاً آشفته است. در شکل 4، خطوط هم‌تراز<sup>+</sup> بر روی سطوح بالا و پایین پره ارائه شده است. مشاهده می‌شود، بیشینه مقدار  $y^+$  در حدود 3 است که در نزدیکی لبه حمله می‌باشد. در این نواحی، سیال شتاب گرفته و سرعت آن افزایش پیدا می‌کند. در بیشتر نواحی سطح پره نیز این مقدار کمتر از 1.0 می‌باشد. با توجه به مدل آشفتگی انتخاب شده در شبیه‌سازی حاضر، مقدار  $< 3.0$  مقداری قابل قبول است.

### 5- عملگر پلاسمای دی بی دی

عملگر پلاسمای دی بی دی از دو الکترود (به طور معمول از جنس مس و

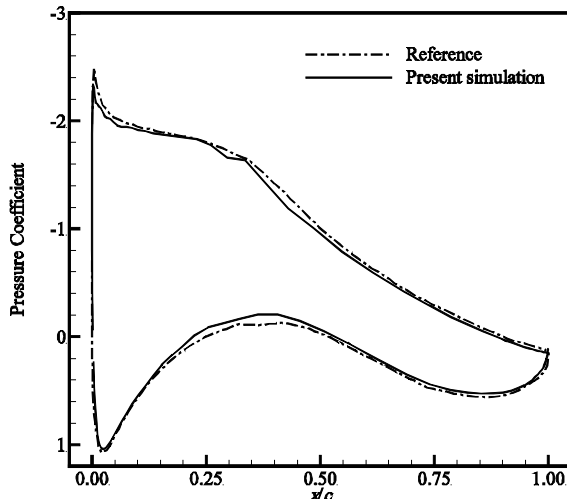


Fig. 3 Pressure coefficient distribution at  $r/R=0.5$

شکل 3 توزیع ضریب فشار بر حسب طول بی بعد در  $r/R = 0.5$

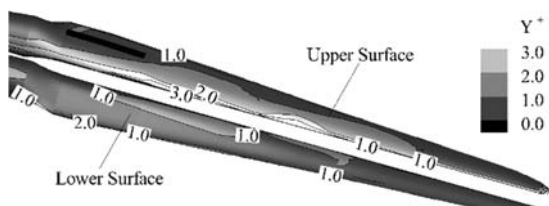


Fig. 4 Contour of  $y^+$  on the rotor blade

شکل 4 کانتور  $y^+$  روی پره

<sup>4</sup> Pressure-Based

بیشتر، حول پره ایجاد شده است و در دو طرف این قطاع از شرط مرزی واسطه<sup>1</sup> استفاده شده تا تعداد سلول‌های شبکه، بدون دلیل در کل دامنهٔ حل افزوده نشوند. شکل 2 کیفیت شبکه محاسباتی در نزدیکی مقطعی از پره در  $r/R = 0.64$  را نشان می‌دهد. تراکم سلول‌ها در نزدیکی لبه حمله و فرار و همچنین فشردگی سلول‌ها در نزدیکی سطح به گونه‌ای انتخاب شده است تا لایه مرزی و فیزیک جریان در این نواحی با دقت مناسب مدل شوند. در بلوك حاوی پره، 160 نقطه روی ایرفویل و 60 نقطه در دنباله‌ی پشت ایرفویل در راستای وتر و همچنین 60 نقطه درجهت عمود بر ایرفویل قرارداده شده است. در راستای دهانه پره نیز 169 نقطه لحاظ شده است. درنتیجه بلوك مکعب مستطیلی حاوی پره از 2,839,200 سلول و کل دامنه نیز از 4,338,810 سلول تشکیل شده‌اند.

برای حل جریان و شبیه‌سازی حرکت رotor از روش MRF<sup>2</sup> [16] در نرم‌افزار فلوئنت<sup>3</sup> که نرم‌افزاری مهندسی برای مدل کردن جریان است، استفاده شده است. در این روش، معادلات حرکت با اضافه شدن جمله‌های شتاب که در اثر حرکت دستگاه مختصات از حالت ساکن به متحرک به وجود

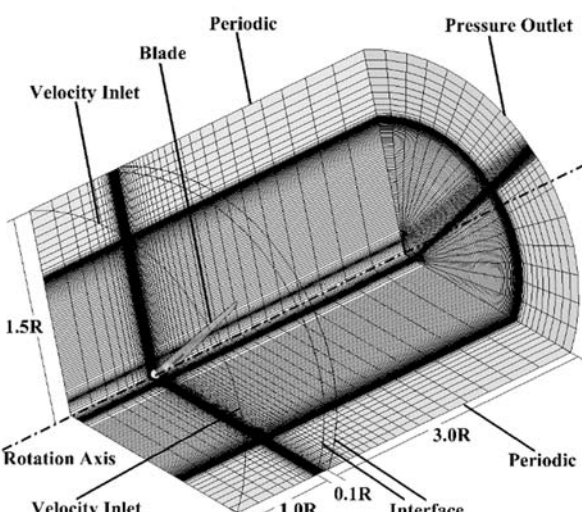


Fig. 1 Generated mesh around blade

شکل 1 شبکه محاسباتی حول پره

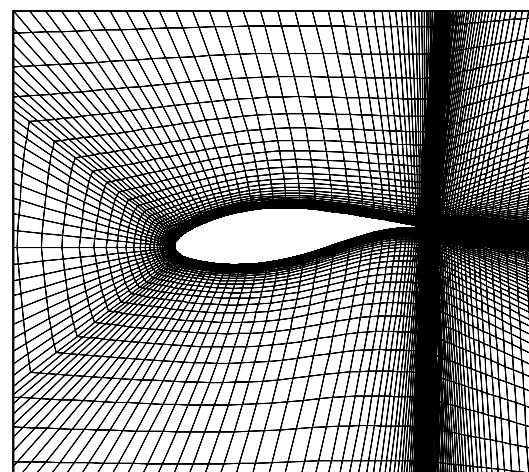


Fig. 2 Blade section at  $r/R=0.64$

شکل 2 مقطعی از پره در  $r/R=0.64$

<sup>1</sup> Interface

<sup>2</sup> Moving Reference Frame

<sup>3</sup> Fluent

الکترود درونی زیاد نباشد (ناحیه پلاسما کوچک باشد)، غلظت شارژ در میدان تنها تحت اثر پتانسیل الکتریکی حاصل از الکترودها است و از میدان الکتریکی خارجی تأثیر نمی‌گیرد [20]. با توجه به این موارد می‌توان این دو معادله را مستقل از رژیم و ساختارهای جریان درنظر گرفت.

نیروی حجمی لورنتز با صرفنظر کردن از اثر نیروهای مغناطیسی از رابطه (4) محاسبه می‌شود.

$$\vec{f}_b = \rho_c \vec{E} = \rho_c (-\nabla \phi) \quad (4)$$

که در آن،  $\vec{E}$  بردار میدان الکتریکی است.

حل معادلات الکترواستاتیک نیز به وسیله نرمافزار فلوئنت انجام شده است. در نرمافزار فلوئنت، قابلیت اضافه کردن معادلات انتقال اسکالار تعريف شده به وسیله کاربر (یو.دی.اس.)<sup>4</sup> و توابع تعریف شده به وسیله کاربر (یو.دی.اف.)<sup>5</sup> وجود دارد. با توجه به قابلیت یو.دی.اس.، دو معادله انتقال اسکالار (2) و (3) برای  $\phi$  و  $\rho_c$  به نرمافزار افزوده می‌شوند. همچنین با اعمال شرایط مرزی از طریق امکان یو.دی.اف.، در فرآیندی تکراری این دو معادله حل شده تا توزیع  $\phi$  و  $\rho_c$  در میدان حل به دست آیند [20]. درنهایت به کمک معادله (4)، توزیع نیروی حجمی حاصل شده به صورت جمله چشمeh به معادلات مومنتم افزوده می‌شود.

در پژوهش حاضر از مدل فوق برای شبیه‌سازی اثر عملگر پلاسما استفاده شده است. برای اعتبارسنجی نتایج شبیه‌سازی پلاسما از مدل هندسی فعالیت موکوت و همکارانش [22] استفاده شده و نتایج حاصل با این مرجع مقایسه شده است. در این مدل هندسی که در شکل 5 نشان داده شده، الکترودها در ابتدای یک صفحه تخت به ضخامت 0.75 میلی‌متر قراردارند و از کاپتون به عنوان ماده دی‌الکتریک استفاده شده است. الکترود آزاد به صورت یک سیم به قطر 50 میلی‌متر در لبه جلویی صفحه و الکترود محدود به صورت یک سیم به قطر 0.15 میلی‌متر در وسط صفحه قرارگرفته است. از آن جاکه در این چیدمان الکترودها، الکترود آزاد در دوطرف الکترود محدود قرارگرفته، بنابراین در بالا و پایین صفحه به صورت متقاضن، جریان القایی تولید می‌شود. در شکل 6، شبکه محاسباتی و قسمتی از الکترودها نشان داده شده است. ابعاد دامنه محاسباتی مطابق [23] به شکل مستطیلی به طول 60 میلی‌متر و عرض 40 میلی‌متر در نظر گرفته شده است. با توجه به اینکه کوچکترین سلول شبکه نباید بزرگ‌تر از طول دبای در مجاورت الکترودها باشد، تراکم سلول‌ها در این ناحیه بیشتر است. در کل میدان محاسباتی از 303 نقطه در راستای طولی و 200 نقطه در راستای عرضی استفاده شده است.

باتوجه به [23]، طول دبای 0.001 متر، بیشینه غلظت شارژ 0.00085 کولomb بر مترمکعب و پارامتر گوسی غلظت شارژ برابر با 0.3 لحاظ شده است. همچنین پارامترهای الکتریکی اعمالی به محركها شامل ولتاژ 4 کیلوولت و فرکانس 5 کیلوهرتز با شکل موج مربعی می‌باشد. هرچند ولتاژ اعمالی به صورت متناوب است، اما از آن جاکه نتایج آزمایشگاهی هم نشان می‌دهد، جهت نیروی حجمی تولید شده همواره از سمت الکترود آزاد به الکترود محدود القا می‌شود. همچنین مقیاس زمانی پاسخ سیال به پلاسما از مرتبه صدم ثانیه است که بسیار کمتر از مقیاس زمانی ولتاژ اعمالی با فرکانس‌های از مرتبه کیلوهرتز می‌باشد. بنابراین علیرغم متناوب بودن ولتاژ اعمالی به الکترودها، اثر عملگر پلاسما به صورت جریان جت القایی پایا در میدان جریان ظاهر می‌شود.

<sup>4</sup> User Defined Scalar (UDS)

<sup>5</sup> User Defined Function (UDF)

به صورت نوار) تشکیل شده است که توسط یک لایه دی‌الکتریک (معمولًا از جنس کاپتون) از یکدیگر جدا شده‌اند. الکترود بیرونی (الکترود آزاد) در معرض جریان هوا بوده و منبع تأمین ولتاژ به آن وصل می‌شود. الکترود درونی (الکترود محدود)، در درون لایه دی‌الکتریک پنهان است و با ولتاژ صفر نقش زمین را ایفا می‌کند [18]. در ولتاژهای به اندازه کافی بزرگ (بالاتر از یک ولتاژ بحرانی)، عملگر موجب یونیزه‌شدن مولکول‌های هوا شده و ذرات بردار حاصله در مجاورت میدان الکتریکی حاکم باعث القای باد الکتریکی یا یونی در نزدیکی سطح می‌شوند. به دلیل برخورد این یون‌ها با ذرات خنثی هوا و انتقال مومنتوم به آن‌ها، جریان هوا از سمت الکترود بیرونی به سمت الکترود نهان شکل می‌گیرد و این جریان القایی که مانند نیروی حجمی عمل می‌کند، به شکل یک جت دیواره خود را نشان می‌دهد.

شبیه‌سازی این پدیده به علت ترکیب پدیده یونیزاسیون و اندرکنش جریان سیال و میدان الکتریکی حاکم، بسیار پیچیده و دشوار است. چرا که برای حل دقیق این پدیده باید دو معادله ماکسول و ناویر-استوکس با یکدیگر ترکیب شوند که این ترکیب غیرخطی به دلیل وجود مقیاس‌های زمانی متفاوت در پدیده‌های فیزیکی، حلی بسیار پرهزینه خواهد داشت. در این راستا، طی ده سال اخیر مدل‌های مختلف برای شبیه‌سازی اثر عملگر پلاسما را شده که یکی از فیزیکی ترین آنها [19] مدل الکترواستاتیک<sup>1</sup> است که توسط سوزن و هوانگ [20] ارائه شده است. در این مدل، از توزیع گوسی برای شبیه‌سازی توزیع غلظت شارژ بر روی دی‌الکتریک استفاده شده است. سوزن و هوانگ میدان الکتریکی کل را به دو ناحیه تقسیم کردند. ناحیه اول، میدان الکتریکی ناشی از ذرات بردار و ناحیه دوم، میدان الکتریکی ناشی از ولتاژ اعمالی به الکترودها است. با تفکیک میدان الکتریکی و اعمال آن بر معادلات ماکسول، دو معادله بیضوی حاصل می‌شود که با حل آن‌ها، میدان پتانسیل الکتریکی و توزیع غلظت شارژ در دامنه حل، به دست می‌آیند. با تعیین میدان پتانسیل الکتریکی و توزیع غلظت شارژ، نیروی حجمی تولید شده به کمک معادله لورنتز محاسبه می‌شود و به صورت جمله چشمeh به معادلات ناویر-استوکس اضافه می‌شود. از آن جا که معادلات مربوط به پتانسیل الکتریکی و غلظت شارژ، بیضوی هستند بنابراین مستقل از زمان بوده و درنتیجه می‌توان در ابتدای این دو معادله را مستقل از معادلات جریان حل کرد.

سوزن و همانگاران [20] برای الگوی خود با اعمال فرض‌های ساده‌کننده در مجموعه معادلات ماکسول، دو معادله (2) و (3) را برای توزیع میدان پتانسیل الکتریکی و توزیع غلظت شارژ ارائه کردند.

$$\nabla \cdot (\epsilon_r \nabla \phi) = 0 \quad (2)$$

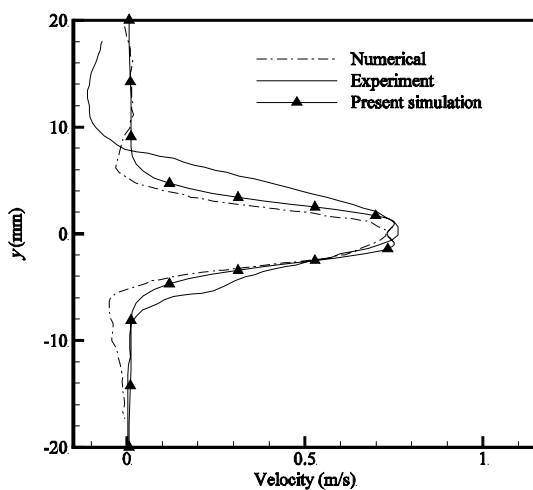
$$\nabla \cdot (\epsilon_r \nabla \rho_c) = \frac{\rho_c}{\lambda_d^2} \quad (3)$$

که در آن،  $\epsilon_r$  ضریب نفوذپذیری نسبی<sup>2</sup>،  $\lambda_d$  طول دبای<sup>3</sup>،  $\phi$  توزیع پتانسیل میدان الکتریکی و  $\rho_c$  توزیع غلظت شارژ در میدان محاسباتی است. در حالت پلاسما، مرتبه زمانی تولید غلظت شارژ در حدود نانوثانیه است و تغییرات زمانی میدان مغناطیسی قابل صرفنظر است. در این شرایط، در دستگاه معادلات (چهارگانه) ماکسول، جریان الکتریکی، القای مغناطیسی، میدان مغناطیسی و مشتقات زمانی قابل صرفنظر هستند [21]. بنابراین از مجموعه معادلات ماکسول تنها دو معادله (2) و (3) باقی می‌مانند. از سوی دیگر اگر طول دبای کوچک باشد و غلظت شارژ روی دیواره در مجاورت

<sup>1</sup> Electrostatic Model

<sup>2</sup> Relative Permittivity

<sup>3</sup> Debye Length

Fig. 8 Comparison between velocity profiles in  $x = 45 \text{ mm}$ شکل 8 مقایسه پروفیل سرعت در مقطع  $x = 45 \text{ mm}$ 

سرعت بیشینه القایی همراه خواهد بود. در این شکل، علت اختلاف اندک میان نتایج تجربی و عددی می‌تواند ظاهرشدن اثرات سبعدی در میدان جریان باشد.

## 6- موقعیت‌های عملکر پلاسما روی پره

به منظور بررسی اثر عملکر پلاسما بر الگوی جریان روی پره روتور توربین باد و عملکرد آن، از قراردادن عملکر در چند وضعیت مختلف روی پره استفاده شده است. در تمامی این حالت‌ها، هندسه عملکر مشابه است. طول هر دو کتروود 8.2 متر، عرض کتروود آزاد 0.35 متر، عرض الکتروود محدود 0.5 متر و ضخامت کتروودها 0.01 متر می‌باشد. در این مقاله با توجه به فعالیت‌های مشابه انجام شده، ولتاژ اعمالی به کتروودها برابر 8.6 کیلوولت در نظر گرفته شده است. با مشخص بودن ولتاژ اعمالی و استفاده از روابط خطی براساس داده‌های تجربی [24] برای پارامترهای عملکر پلاسما، طول دیای برابر 0.0001 متر، بیشینه غلظت شارژ برابر 0.0925 کولمب بر مترمکعب و پارامتر گوئی غلظت شارژ برابر با 0.66 محااسبه شده است.

در جدول 1، جزئیات سه حالت مختلف قرارگیری عملکر پلاسما روی پره شامل دو حالت در نزدیکی ریشه پره (در دو موقعیت مختلف در جهت و تر پره) و یک حالت در نزدیکی نوک آمدده است. در این جدول، محل قرار گرفتن کتروودها در راستای دهانه پره، محل شروع الکتروودها در راستای وتر و به صورت ضریبی از وتر همان مقطع برای هر سه حالت کنترلی آمده است. سرعت باد و سرعت دورانی روتور به ترتیب برابر 9 مترب ثانیه و 1.08 رادیان بر ثانیه هستند. شکل 9 نیز مکان قرارگیری عملکرها (در نزدیکی ریشه و نوک پره) را نشان می‌دهد.

برای بررسی استقلال نتایج شبیه‌سازی اثر عملکر پلاسما از شبکه محاسباتی، مطالعه بر روی سه شبکه با تعداد سلول متفاوت انجام شده است. برای این سه شبکه، تعداد سلول‌های درون بلوك حاوی عملکر پلاسما به ترتیب برابر 1,004,000, 364,800 و 2,040,000 هستند. از آنجاکه بیشترین گرادیان پروفیل سرعت القایی در حالت فعل بدن عملکر در هوای ساکن وجود دارد، بررسی استقلال حل از شبکه در این شرایط انجام می‌شود. پروفیل سرعت در مقطع  $r/R = 0.22$  و به فاصله 0.75 طول وتر از لبه حمله به عنوان معیار مقایسه‌ی نتیجه شبکه‌های مختلف انتخاب شده است. شکل 10، پروفیل سرعت برای هر سه شبکه روی سطح بالای ایرفویل را نشان

شرايط مرزی مربوط به معادلات پلاسما در شکل 7 آمده است. در مورد معادلات جریان نیز، برای مرزهای بیرونی میدان، شرط فشار خارجی<sup>1</sup> و مرز بین سیال و دیکتریک نیز شرط دیواره قرارداده شده است. جریان به صورت آرام و تراکم‌ناپذیر فرض شده و الگوریتم سیمپل<sup>2</sup> با دقت مرتبه دوم برای حل میدان سرعت و فشار به کار رفته است.

در شکل 8 توزیع سرعت القایی به وسیله عملکر در یک مقطع طولی نشان داده شده و با نتایج تجربی و عددی مرجع [23] مقایسه شده که تطابق نسبتاً خوبی را نشان می‌دهد. در این نمودار، محور افقی نشان‌دهنده سرعت بر حسب مترب ثانیه و محور عمودی نشان‌دهنده مختصات عرضی بر حسب میلی‌متر است. طبق انتظار، سرعت در نزدیک صفحه و در ناحیه نزدیک الکتروود محدود افزایش داشته است. البته با حرکت در جهت مثبت طولی میدان، ضخامت ناحیه اثر سرعت القایی افزایش پیدا می‌کند که این افزایش ضخامت ناشی از باز شدن خطوط جریان از یکدیگر است و با کاهش در مقدار

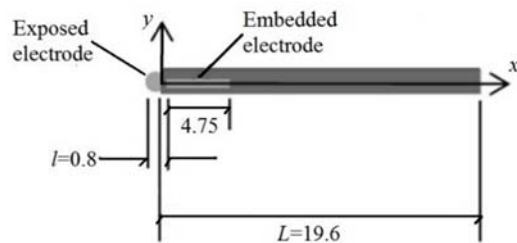


Fig. 5 Geometry of simulated plasma actuator [23]

شکل 5 هندسه عملکر پلاسمای مدل شده (اعداد بر حسب میلی‌متر) [23]

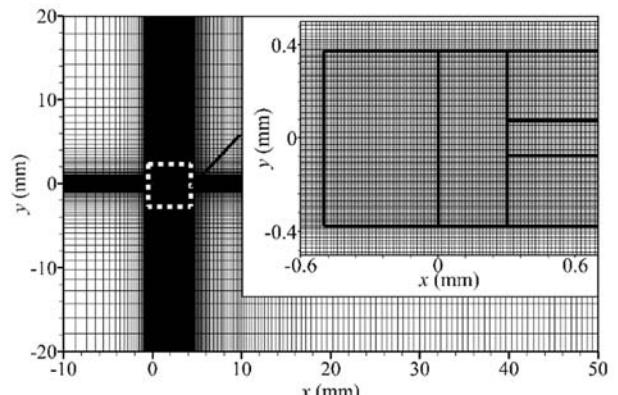
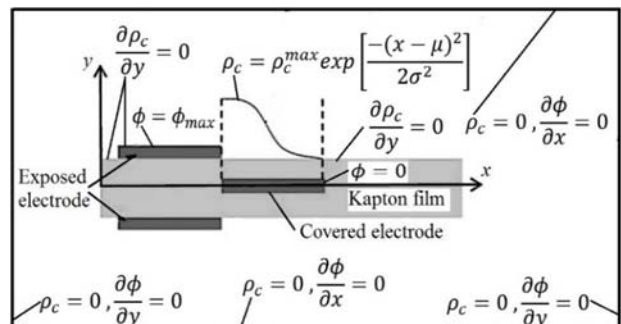


Fig. 6 Generated mesh around actuator

شکل 6 شبکه محاسباتی حول عملکر

Fig. 7 Schematic of boundary condition on  $\phi$  and  $\rho_c$  [23]شکل 7 شرایط مرزی برای  $\phi$  و  $\rho_c$  [23]

<sup>1</sup> Pressure Outlet  
<sup>2</sup> Simple

در شکل 12، خطوط هم تراز سرعت در دو حالت غیرفعال و فعال عملگر در مقطع 1 و 2 نشان داده شده است. مشاهده می شود که عملگر توانسته است با القای جریان، ناحیه کم سرعت نزدیک لبه فرار در سطح بالا را از بین ببرد.

در شکل 13، بردارهای سرعت در مقطع 1، برای سه حالت عملگر غیرفعال، عملگر فعال در حالت 1 و 2 ارائه شده است. در شکل 13-الف که عملگر غیرفعال است، ناحیه ای که سرعت روی سطح بالای ایرفویل شروع به کاهش می کند، نشان داده شده است. مطابق این شکل، از نقطه 0.53 طول وتر از لبه حمله به بعد، روی سطح بالای ایرفویل، شبی پروفیل سرعت طولی کاهش یافته و شرایط لایه مرزی مستعد جدایش می شود. عملگر حالت 1 (شکل 13-ب) در مرز شروع این ناحیه قرار گرفته است و توانسته با القای جریان، پروفیل سرعت را بهبود بخشد؛ اما عملگر حالت 2 (شکل 13-ج) که در ناحیه کم سرعت قرار گرفته است، توانسته تغییر چندانی در پروفیل سرعت ایجاد نکند. در شکل 14 نیز پروفیل سرعت برای عملگر فعال در حالت 1 و 2 در مقطع 1 و برای دو فاصله متفاوت از لبه حمله باهم مقایسه شده است. مقادیر مثبت محور عمودی، مشخص کننده سطح بالا و مقادیر منفی، مشخص کننده سطح پایین ایرفویل می باشند. مشاهده می شود که عملکرد عملگر در حالت 1 از نظر القای مومنتم به جریان و بهبود پروفیل سرعت در نزدیکی سطح بالای پره، خیلی بهتر از عملکرد عملگر در حالت 2 بوده است. همان گونه که گفته شد، دلیل این موضوع قرار گیری عملگر حالت 1 قبل از ناحیه افت سرعت روی سطح بالایی بوده است ولی عملگر حالت 2 در محل شروع افت سرعت قرار گرفته است، توانسته به طور مناسب پروفیل سرعت را بهبود ببخشد.

شکل 15 بردارهای سرعت را در مقطع 2 برای حالت های مختلف نشان می دهد. در این مقطع، هر دو عملگر حالت 1 و 2 قبل از ناحیه کم سرعت قرار گیرند و توانسته اند سرعت این ناحیه را افزایش دهند. بنابراین برای اینکه عملگر پلاسما بتواند نقش خود را به خوبی ایفا کند باید قبیل از ناحیه کم سرعت قرار داشته باشد. علت اینکه عملگر حالت 2 در مقطع 1 در محل شروع افت سرعت قرار گرفته ولی همین عملگر در مقطع 2 قبل از ناحیه کم سرعت قرار دارد، فاصله بیشتر مقطع 2 از هاب پره و درنتیجه سرعت جریان نسبی بیشتر نسبت به مقطع 1 است. به عبارتی، با حرکت به سمت نوک پره، ناحیه کم سرعتی که در نزدیکی لبه فرار روی سطح بالایی پره وجود دارد، کوچکتر می شود.

در شکل 16، پروفیل سرعت برای دو حالت عملگر غیرفعال و عملگر فعال حالت 1 در مقطع 2 و برای دو فاصله متفاوت از لبه حمله باهم مقایسه شده است. مشاهده می شود که در حالت عملگر فعال، سرعت روی سطح بالا در نزدیکی سطح افزایش داشته و با افزایش فاصله از لبه حمله، این افزایش سرعت بیشتر می باشد. روی سطح پایین ایرفویل، فعال بودن عملگر موجب کاهش سرعت شده است.

در شکل 17، توزیع ضریب فشار در مقطع 2 برای سه حالت عملگر غیرفعال، عملگر فعال در حالت 1 و 2 را نشان می دهد. مشاهده می شود هنگامی که عملگر فعال است، پرشی در توزیع فشار سطح بالای ایرفویل این

جدول 2 مشخصات مقاطع مشخص شده روی پره

Table 2 Properties of specified sections on blade

فاصله (متر)	دهانه %	شماره مقطع
14.0	22	1 مقطع
18.0	29	2 مقطع
48.6	77	3 مقطع

می دهد. مشاهده می شود اختلاف چندانی بین نتایج استفاده از شبکه 2 و 3 وجود ندارد.

## 7- نتایج و بحث

به منظور بررسی دقیق تر فیزیک جریان و تأثیر عملگر بر جریان در هر یک از سه حالت معرفی شده در جدول 1 و مقایسه بین این حالت ها، نتایج در سه مقطع از پره که مشخصات آنها در جدول 2 آمده، ارائه شده است.

در شکل 11، خطوط هم تراز پتانسیل الکتریکی و غلظت شارژ الکتریکی به صورت بی بعد در دو مقطع نمایش داده شده است. مطابق انتظار و با توجه به شرایط مزی، مقدار پتانسیل الکتریکی بی بعد روی الکترود آزاد و محدود به ترتیب 0 و 1 است (شکل بالا-چپ). همچنین مقدار غلظت شارژ بی بعد روی صفحه بالای الکترود محدود، (با حرکت از سمت چپ به راست) از مقدار بیشینه 1 به مقدار 0 رسیده است (شکل پایین-چپ) که بیانگر توزیع نیم گوسی می باشد.

جدول 1 مشخصات حالت های کنترلی مختلف

Table 1 Properties of different controlled cases

مکان	حالت	محل پلاسما	محل شروع	% افزایش
پلاسما	در راستای	الکترود آزاد در	الکترود محدود در	توان خروجی
دهانه پره (متر)	راستای وتر (متر)	راستای وتر (متر)	راستای وتر (متر)	
1.180	0.43c	0.34c	11.75-19.95	1 ریشه
1.101	0.63c	0.54c	11.75-19.95	2 ریشه
0.466	0.43c	0.34c	44.55-52.75	نوك

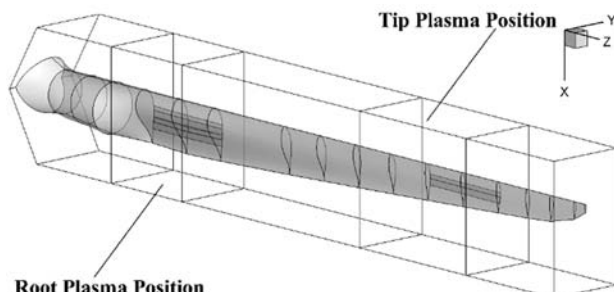


Fig. 9 Different cases location of plasma actuators

شکل 9 مکان های مختلف نصب عملگر پلاسما

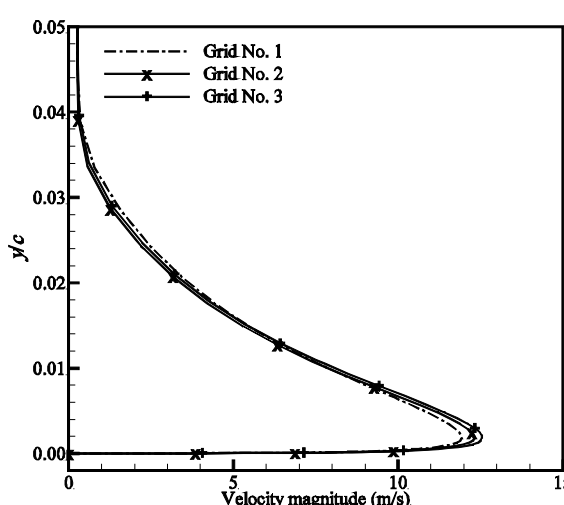
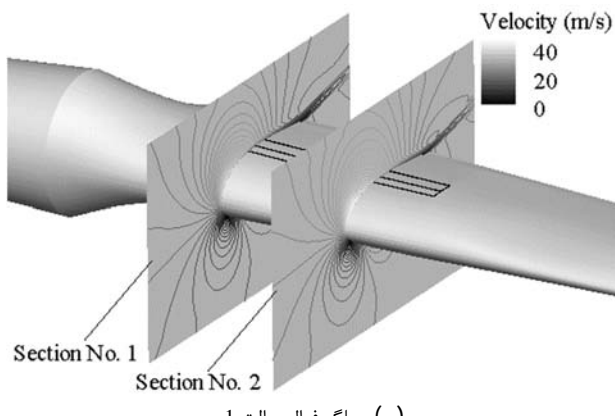


Fig. 10 Velocity profile at x/c=0.75 at r/R=0.50

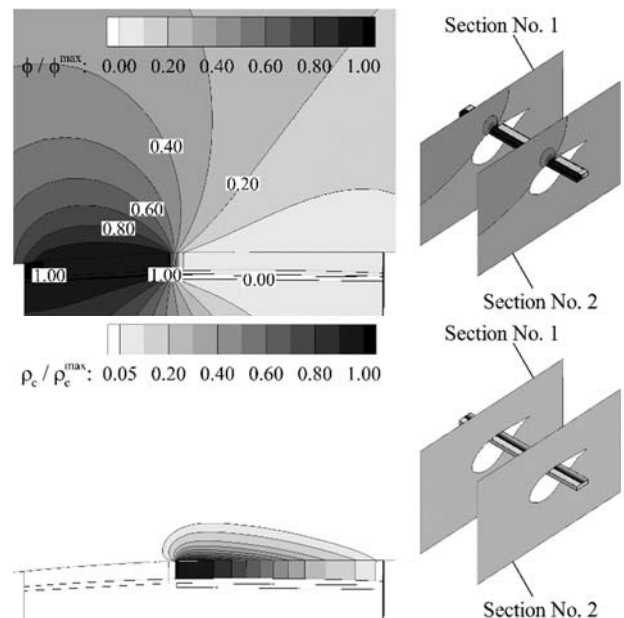
شکل 10 پروفیل سرعت در  $r/R=0.50$  و  $x/c=0.75$

به وسیله عملگر به وجود آمده است و مکان آنها در نزدیکی محل آغاز الکترود محدود است. بعد از ناحیه پرش، مقدار فشار به صورت پیوسته کاهش یافته است در حالی که در حالت عملگر غیرفعال، گرادیان فشار نامطلوب دیده می شود. همچنین مشاهده می شود مقدار فشار در سطح بالای ایرفویل در حالت عملگر فعال، مقدار منفی تری نسبت به حالت غیرفعال دارد (که بیانگر افت فشار است). همچنین، افزایش فشار در سطح پایین ایرفویل دیده می شود. سطح زیر نمودار ضریب فشار برای عملگر فعال حالت 1 حدود 15 درصد و برای حالت 2 حدود 13 درصد بیشتر از حالت غیرفعال عملگر است؛ درنتیجه نیروی تولیدی مقطع در اثر فعالیت عملگر پلاسمای افزایش می یابد. در شکل 18، مقایسه ای بین پروفیل سرعت در حالت غیرفعال با فعال عملگر در حالت 1 (مقطع 2) و حالت 3 (مقطع 3) در فاصله 0.95 برابر طول وتر از لبه حمله انجام شده است. مشاهده می شود که عملگر فعال حالت 3 نسبت به غیرفعال بودن عملگر در مقطع 3، تغییر چندانی در پروفیل سرعت ایجاد نکرده است، درحالی که افزایش سرعت توسط عملگر فعال حالت 1 در مقطع 2 محسوس است. با دقت در اندازه مقادیر سرعت در این دو مقطع، می توان به دلیل این موضوع پی برد. سرعت جریان در نزدیکی سطح بالای پره در مقطع 2 و 3 و در فاصله 0.95 برابر طول وتر از لبه حمله، به ترتیب در حدود 10 و 56 (بدلیل فاصله بیشتر از هاب توربین) متبرثانیه هستند. مشخص است که عملکرد عملگر با افزایش سرعت دچار افت می شود و نمی تواند به خوبی هوای اطراف خود را تحت تأثیر قرار دهد و جریان القایی قدرتمند تولید کند.

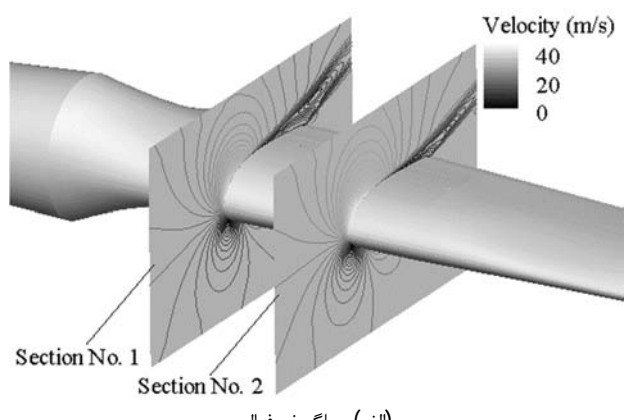


(ب) عملگر فعال حالت 1

Fig. 12 Contour of velocity in plasma off and on for case 1

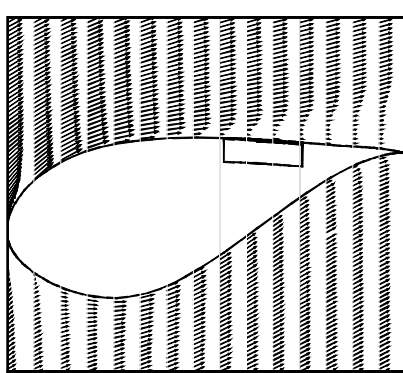
Fig. 11 Contour of non-dimensional  $\phi$  (top) and  $\rho_c$  (bottom)شکل 11 خطوط همتراز  $\phi$  (بالا) و  $\rho_c$  (پایین) به صورت بی بعد

مقطع رخ داده است. این پرش یا شکستگی، به دلیل القای جت جریان

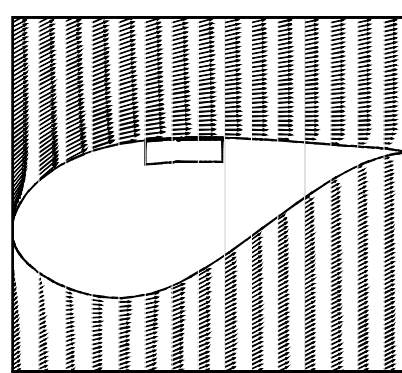


(الف) عملگر غیرفعال

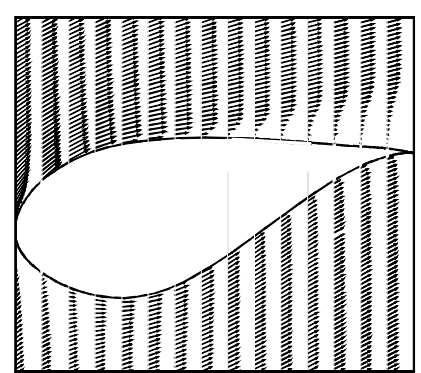
شکل 12 خطوط همتراز سرعت در حالت غیرفعال و فعال عملگر حالت 1



(ج) عملگر فعال حالت 2



(ب) عملگر فعال حالت 1



(الف) عملگر غیرفعال

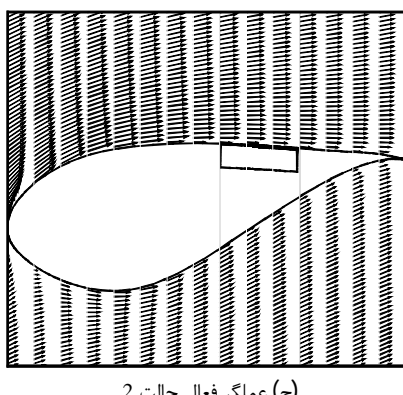
Fig. 13 Velocity vector in plasma off and on for case 1 and 2 at section1

شکل 13 بردار سرعت در حالت غیرفعال و فعال عملگر حالت 1 و 2 در مقطع 1

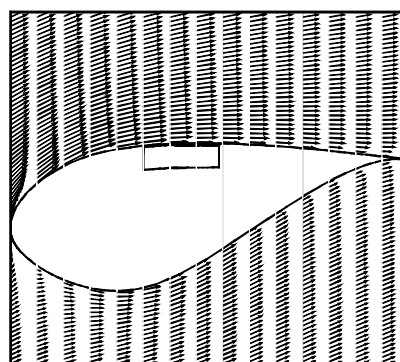
تغییر الگوی جریان روی پره و درنتیجه نیروهای آبودینامیکی تولیدی توسط روتور شده است. با انتگرال گیری از توزیع فشار در طول پره، گشتاور آبودینامیکی حول هاب و درنتیجه توان خروجی روتور محاسبه شده و نتایج در ستون آخر جدول 1 آمده است. نتایج نشان می‌دهد که درصد افزایش توان توربین برای حالت‌های 1 تا 3 به ترتیب برابر ۱.۱۰۱، ۱.۱۸ و ۰.۴۶۶ بوده است. مشاهده می‌شود که برای تمامی حالت‌ها، افزایش توان حاصل شده ولی هنگامی که عملگر در نزدیکی ریشه پره قرار دارد، تأثیر آن بیشتر از زمانی است که در نزدیکی نوک پره نصب شده است.

#### 8- نتیجه گیری

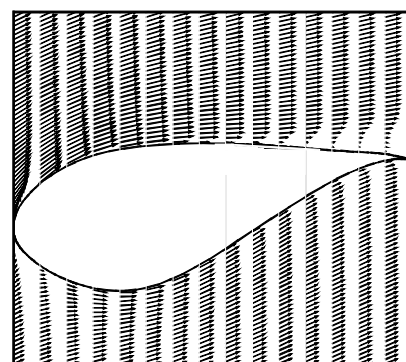
در این پژوهش، امکان استفاده از عملگر پلاسما به عنوان ابزاری برای کنترل جریان روی پره روتور توربین باد ۵ مگاواتی مرجع ان.آر.ای.ال. و افزایش توان خروجی آن بررسی شده است. برای این کار، عملگر پلاسما با مشخصات معرفی شده در این مقاله در سه موقعیت در نزدیکی ریشه و نوک پره قرار داده شد. نتایج نشان داد که اعمال عملگر برای تمامی حالت‌ها روی پره باعث تغییر الگوی جریان روی پره و در نتیجه افزایش نیروهای آبودینامیکی، گشتاور تولیدی و توان خروجی توسط روتور شده است. ولی با توجه به افت عملکرد عملگر در سرعت‌های زیاد جریان نسبی روی روتور، هنگامی که



(ج) عملگر غافل حالت 2



(ب) عملگر غافل حالت 1



(الف) عملگر غیرفعال

Fig. 15 Vector of velocity in plasma off and on for case 1 and 2 at section 2

شکل ۱۵ بردار سرعت برای عملگر غیرفعال و غافل حالت ۱ و ۲ در مقطع ۲

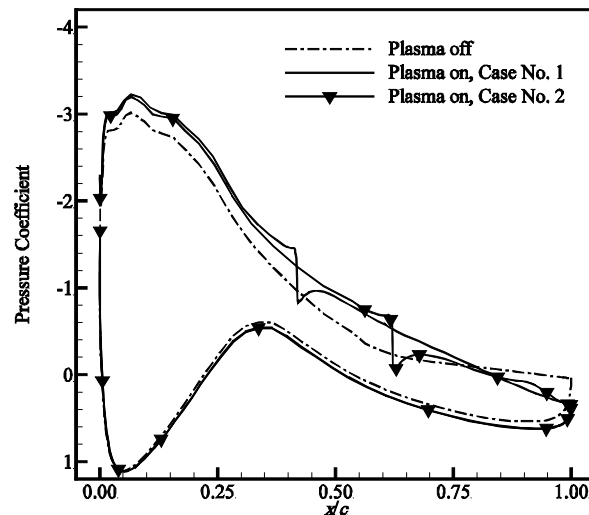


Fig. 17 Pressure coefficient distribution as a function of dimensionless chord length in plasma off and on for case 1 and 2 at section 2

شکل ۱۷ توزیع ضریب فشار بر حسب طول بی بعد برای عملگر غیرفعال و غافل حالت ۱ و ۲ در مقطع ۲

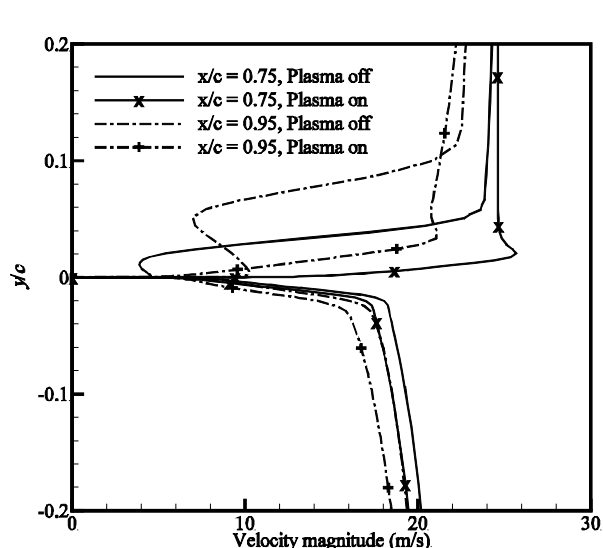
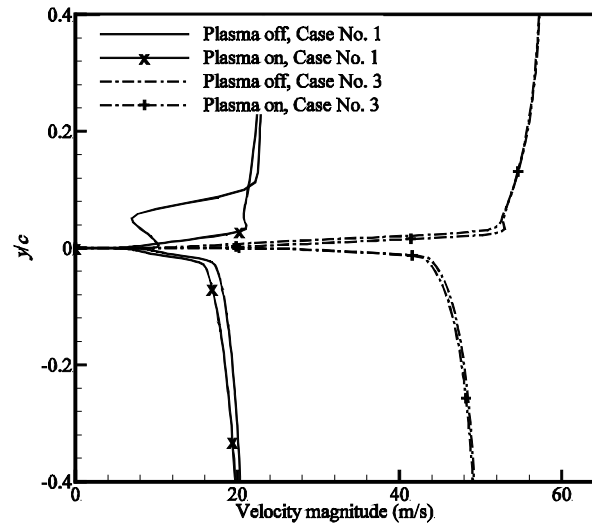


Fig. 16 Comparison of velocity profile in plasma off and on for case 1 at section 2

شکل ۱۶ مقایسه پروفیل سرعت برای عملگر غیرفعال و غافل حالت ۱ در مقطع ۲

- [6] N. Benard, E. Moreau, Electrical and mechanical characteristics of surface AC dielectric barrier discharge plasma actuators applied to airflow control, *Experiments in Fluids*, Vol. 55, No. 11, pp. 1-43, 2014.
- [7] *The European offshore wind industry-key trends and statistics 2015*, A report by the European Wind Energy Association (EWEA), 2016.
- [8] R. C. Nelson, T. C. Corke, H. Othman, M. P. Patel, S. Vasudevan, T. Ng, A smart wind turbine blade using distributed plasma actuators for improved performance, *46th AIAA Aerospace Sciences Meeting and Exhibit*, Reno, Nevada, USA, January 7-10, 2008.
- [9] D. Greenblatt, M. Schulman, A. Ben-Harav, Vertical axis wind turbine performance enhancement using plasma actuators, *Renewable Energy*, Vol. 37, No. 1, pp. 345-354, 2012.
- [10] M. Kotsonis, R. Pul, L. Veldhuis, Experimental study on airfoil circulation control using plasma actuators, *31st AIAA Applied Aerodynamics Conference*, San Diego, CA, USA, June 24-27, 2013.
- [11] H. Aono, Y. Abe, M. Sato, A. Yakeno, K. Okada, T. Nonomura, K. Fujii, Flow control using a DBD plasma actuator for horizontal-axis wind turbine blades of simple experimental model, *The 11th World Congress on Computational Mechanics*, Barcelona, Spain, July 20-25, 2014.
- [12] J. A. Cooney, Ch. Szlatenyi, N. E. Fine, The development and demonstration of a plasma flow control system on a 20 kW wind turbine, *54th AIAA Aerospace Sciences Meeting*, San Diego, California, USA, 2016.
- [13] J. Jonkman, S. Butterfield, W. Musial, G. Scott, *Definition of a 5-MW Reference Wind Turbine for Offshore System Development*, Technical Report NREL-TP-500-38060, National Renewable Energy Laboratory, 2009.
- [14] F. Villalpando, M. Reggio, A. Ilincic, Numerical study of flow around iced wind turbine airfoil, *Engineering Applications of Computational Fluid Mechanics*, Vol. 6, No. 1, pp. 39-45, 2012.
- [15] Y. Bazilevs, M. C. Hsu, I. Akkerman, S. Wright, K. Takizawa, B. Henicke, T. Spielman, T. E. Tezduyar, 3D simulation of wind turbine rotors at full scale. Part I: Geometry modeling and aerodynamics, *International Journal for Numerical Methods in Fluids*, Vol. 65, No. 1-3, pp. 207-235, 2011.
- [16] M. H. Ghiasi, A. Jafarian Dehkordi, FSI simulation of a small size horizontal axis wind turbine to investigate the effects of blade thickness and material on blade deformation, *Modares Mechanical Engineering*, Vol. 15, No. 5, pp. 145-152, 2015. (in Persian)
- [17] G. Bernardi, *Feasibility Study of a 3D CFD Solution for FSI Investigations on NREL 5MW Wind Turbine Blade*, Master of Science Thesis, KTH School of Industrial Engineering and Management Energy Technology, EGI-2015-006MSC EKV1077, 2015.
- [18] A. Rafi, N. Amanifard, H. Mohaddes Deylami, F. Dolati, Numerical investigation of the plasma actuator effects on the flow field and heat transfer coefficient in a flat channel, *Modares Mechanical Engineering*, Vol. 15, No. 6, pp. 23-30, 2015. (in Persian)
- [19] R. Thompson, T. Moeller, Numerical investigations of plasma actuator lorentz body forces, *50th AIAA Aerospace Sciences Meeting including the New Horizons Forum and Aerospace Exposition*, Nashville, Tennessee, USA, January 9-12, 2012.
- [20] Y. Suzen, G. Huang, Simulations of flow separation control using plasma actuators, *44th AIAA Aerospace Sciences Meeting and Exhibit*, Reno, Nevada, USA, January 9-12, 2006.
- [21] D. M. Orlove, T. C. Corke, Numerical simulation of aerodynamic plasma actuator effects, *43rd AIAA Aerospace Sciences Meeting and Exhibit*, Reno, Nevada, USA, January 10-13, 2005.
- [22] A. Mukut, H. Mizunuma, O. Hiromichi, T. Segawa, Winglet type dielectric barrier discharge plasma actuators: performance characterization and numerical comparison, *Procedia Engineering*, Vol. 105, pp. 250-257, 2015.
- [23] A. Mukut, H. Mizunuma, H. Obara, T. Segawa, Flow characteristics induced by winglet-type plasma actuators, *Journal of Fluid Science and Technology*, Vol. 8, No. 3, pp. 396-406, 2013.
- [24] M. Kotsonis, S. Ghaemi, L. Veldhuis, F. Scarano, Measurement of the body force field of plasma actuators, *Journal of Physics D: Applied Physics*, Vol. 44, No. 4, pp. 045204, 2011.



**Fig. 18** Comparison of velocity profile at  $x/c=0.95$  in plasma off and on for case 1 and 3 at section 2 and 3

شکل 18 مقایسه پروفیل سرعت در  $x/c=0.95$  برای عملگر غیرفعال و فعال حالت 1 و 3 در مقاطع 2 و 3

عملگر در نزدیکی ریشه پره قرار دارد، تأثیر آن بیشتر از زمانی است که در نزدیکی نوک پره نصب شده است. همچنین با قرارگیری عملگر در ناحیه کم سرعت روی سطح بالایی مقطع پره، کارایی آن افت می‌کند و برای بهره‌وری بیشتر، بهتر است عملگر در مرز ناحیه کم سرعت (یا ناحیه جدایش) قرار داده شود. بیشترین درصد افزایش توان توربین برای حالت 1 برابر 1.18 بوده است که در سرعت باد 9 متر بر ثانیه معادل حدود 35 کیلووات می‌باشد. بنابراین اعمال روش پیشنهادی برای توربین‌های یک مزرعه بادی می‌تواند در افزایش راندمان مزرعه مؤثر باشد.

## 9- مراجع

- S. El-Khabiry, G. M. Colver, Drag reduction by dc corona discharge along an electrically conductive flat plate for small Reynolds number flow, *Physics of Fluids*, Vol. 9, No. 3, 587-599, 1997.
- J. Roth, D. Sherman, S. Wilkinson, Boundary layer flow control with a one atmosphere uniform glow discharge surface plasma, *36th AIAA Aerospace Sciences Meeting and Exhibit*, Reno, USA, January 12-15, 1998.
- S. Johnson, C. P. Van Dam, D. E. Berg, *Active load control techniques for wind turbines*, SANDIA Report, SAND2008-4809, Sandia National Laboratories, 2008.
- J. Kriegseis, B. Simon, S. Grundmann, Towards in-flight applications? a review on dielectric barrier discharge-based boundary-layer control, *Applied Mechanic Review*, Vol. 68, No. 2, pp. 1-41, 2016.
- M. Kotsonis, Diagnostics for characterisation of plasma actuators, *Measurement Science and Technology*, Vol. 26, No. 9, pp. 1-35, 2015.